



Westfälische Wilhelms-Universität Münster
Institut für Geoinformatik

Bachelorarbeit
im Fach Geoinformatik

Rich Data Interfaces for Copernicus Data

Themensteller: Prof. Dr. Albert Remke
Betreuer: Dr. Christian Knoth, Dipl.-Geoinf. Matthes Rieke
Ausgabetermin: tbd.
Abgabetermin: tbd.

Vorgelegt von: Alexander Nicolas Pilz
Geboren: 06.12.1995
Telefonnummer: 0176 96982246
E-Mail-Adresse: apilz@uni-muenster.de
Matrikelnummer: 512 269
Studiengang: Bachelor Geoinformatik
Fachsemester: 6. Semester

Inhaltsverzeichnis

1	Einleitung	5
1.1	Motivation	5
1.2	Ziele	5
1.3	Aufbau	5
2	Grundlagen	6
2.1	Radarfernerkundung	6
2.2	Copernicus Programm	9
2.2.1	Ziele	9
2.2.2	Aufbau	9
2.2.3	Sentinel 1	10
2.2.4	Datenzugang	12
2.3	Überschwemmungsmonitoring	12
2.4	Schnittstellen	13
2.5	OGC und OGC Standards	13
2.6	OGC API - Processes - Part 1: Core	13
2.6.1	Ziele	13
2.6.2	Aufbau	13
2.7	Evaluationskriterien	13
3	Implementierung	14
3.1	Requirements Class Core	14
3.2	Requirements Class OGC Process Description	14
3.3	Requirements Class JSON	14
3.4	Requirements Class HTML	14
3.5	Requirements Class OpenAPI 3.0	14
3.6	Requirements Class Job List	14
3.7	Requirements Class Dismiss	14
3.8	Zusätzliche Funktionalitäten	14
3.9	Überschwemmungsmonitoring	14
4	Evaluation	16
5	Ausblick	17

Abbildungsverzeichnis

1	Prinzip eines SAR Fernerkundungssystems [1]	8
2	Aufnahmeverfahren SAR Systemen [1]	8
3	Aufnahmemodi der Sentinel-1 Mission [6]	11

Tabellenverzeichnis

1	Gängige Frequenz-Bänder in der Radarfernerkundung [1]	6
2	Eigenschaften der Aufnahmemodi der Sentinel-1 Mission [6]	11

Abkürzungsverzeichnis

API Application Programming Interface

OGC Open Geospatial Consortium

NDSI Normalized Difference Sigma-Naught Index

SAR Synthetic Aperture Radar

ESA European Space Agency

GMES Global Monitoring for Environmental Security

CAMS Copernicus Atmosphere Monitoring Service

CMEMS Copernicus Marine Environment Monitoring Service

CLMS Copernicus Land Monitoring Service

EMS Emergency Management Service

C3S Climate Change Service

SM Stripmap Mode

SLC Single Look Complex

GRD Ground Range Detected

OSW Ocean Swell Spectra

OWI Ocean Wind Field

RVL Radial Surface Velocity

1 Einleitung

1.1 Motivation

1.2 Ziele

1.3 Aufbau

2 Grundlagen

2.1 Radarfernerkundung

Bei der Radarfernerkundung werden vom Radarsystem in regelmäßigen Abständen elektromagnetische Signale ausgesandt. Nach dem Senden eines Signals (Chrip) folgt ein Zeitfenster, indem die Plattform auf Echos des ausgesandten Signals wartet. Trifft das ausgesandte Signal auf eine Oberfläche, zum Beispiel die Erdoberfläche, wird ein Bruchteil reflektiert und als Echo vom Fernerkundungssystem empfangen [1].

Die Radarfernerkundung gehört zu den aktiven Fernerkundungsmethoden da hier im Gegensatz zur optischen Fernerkundung nicht nur von Oberflächen reflektierte Strahlung von anderen Strahlungsquellen wie der Sonne aufgenommen wird, sondern das Fernerkundungssystem selbst als Strahlungsquelle dient. Messungen können daher tageseitunabhängig erfolgen. Dabei können die sendenden und erfangenden Komponenten unterschiedlich (bi- oder multistatisches Radar) oder identisch sein (monostatisches Radar). Bildgebende Radarsysteme werden auf mobilen Plattformen montiert und blicken seitlich auf die zu beobachtende Oberfläche. Die Flugrichtung wird Azimut und die Blickrichtung als Slant Range bezeichnet [1] (Abbildung 1).

Die Eigenschaften des reflektierten Signals hängen sowohl von Parametern des Aufnahmesystems als von Parametern der reflektierenden Oberfläche ab. So werden in der Radarfernerkundung verschiedenen Frequenzbänder verwendet, welche sich in Frequenz und Wellenlänge unterscheiden. Da sich Wechselwirkung zwischen Signalen unterschiedlicher Frequenzbänder unterscheidet können so unterschiedliche Aspekte der beobachteten Oberfläche hervorgehoben werden. Dabei kommen in der Regel Wellenlängen von 0.75m bis 120m zum Einsatz (Tabelle 1). Mit einer größeren Wellenlänge kann ein Medium auch tiefer durchdrungen werden. Außerdem werden Wolken, Dunst und Rauch durchdrungen was den zusätzlich Vorteil bietet wetterunabhängig Messungen durchführen zu können [2].

Tabelle 1: Gängige Frequenz-Bänder in der Radarfernerkundung [1]

Frequenzband	Ka	Ku	X	C	S	L	P
Frequenz (GHz)	40-25	17.6-12	12-7.5	7.5-3.75	3.75-2	2-1	0.5-0.25
Wellenlänge (cm)	0.75–1.2	1.7–2.5	2.5–4	4–8	8–15	15–30	60–120

Die Durchdringungstiefe hängt auch von der Dielektrizitätskonstante, also der Leitfähigkeit, der reflektierenden Oberfläche ab. Ist diese groß, reflektiert die Oberfläche stark und die Durchdringungstiefe ist gering. Die Rauigkeit ist eine Eigenschaft der reflektierenden Oberfläche und hat großen Einfluss auf das reflektierte Signal. Ist diese im Verhältnis zur verwandten Wellenlänge gering so kommt es zu spiegelnden Reflexionen und nur ein geringer Anteil des kehrt zum Empfänger zurück. Je diffuser die

Reflektion mit zunehmender Rauigkeit wird umso größer ist der Anteil des Signals welcher zum Empfänger zurückgeworfenen Signals. Doch auch die Form und Exposition der Oberfläche nimmt Einfluss auf das reflektierte Signal. So werden Flächen je nach Neigung unterschiedlich stark bestrahlt. Ist eine dem System abgewandte Fläche steiler geneigt als der Depressionswinkel liegen Sie sogar im Radarschatten und werden gar nicht bestrahlt [2]. Zusätzlich ist die Polarisation der ausgesandten und empfangenen Signale bei der Messung ausschlaggebend. Sie können horizontal oder vertikal polarisiert sein. Dies führt zu vier möglichen Polarisationsmodi für das Senden (transceive) und das Empfangen (receive) nämlich HH, VV, HV und VH. Auch die Polarisation sorgt für eine unterschiedliche Wiedergabe von beobachteten Objekten und kann somit verwendet werden, um bestimmte Aspekte hervorzuheben [2]. Die Auflösung entlang des Azimut unterscheidet sich von der Auflösung in Blickrichtung. Die Auflösung in Azimutrichtung wird von der Antennenlänge bestimmt da diese festlegt wie lange die Reflektionen eines Objektes empfangen werden. Die Antennenlänge kann bauartbedingt nicht beliebig gesteigert werden. Die Bauart der Antenne bestimmt auch den Abstrahlwinkel Θ_a und somit die Ausdehnung am Boden eines Impulses in Azimutrichtung. Diese nimmt mit zunehmender Entfernung zu, während die Auflösung abnimmt. Die Auflösung in Blickrichtung hängt von der Bandbreite ab welche sich aus der Sendefrequenz und der Signaldauer. Die Ausdehnung des beobachteten Gebietes in Blickrichtung hängt von der Laufzeit des ausgesandten Signales ab. Die Objekte werden abhängig von ihrer Entfernung zur Antenne verzerrt wiedergegeben da nahegelegene Objekte von der Wellenfront schneller durchlaufen werden. Dieser Unterschied zwischen Schrägdistanz und Bodendistanz lässt sich jedoch nahezu vollständig korrigieren [2]. Die bisher beschriebenen Systeme werden auch als Systeme mit realer Apertur bezeichnet und eignen sich nur für geringe Flughöhen da hier der Abstand zwischen Antenne und Oberfläche gering ist. Bei Radarsystemen mit einer synthetischen Apertur wird durch die Bewegung des Sensors in Azimutrichtung die wirksame Antennenlänge rechnerisch verlängert indem die reflektierten Signale eines beobachteten Objektes von verschiedenen Standpunkten und unterschiedlichen Zeitpunkten miteinander korreliert werden. So können hohe Azimutaufösungen erzielt werden. Solche Systeme eignen sich auch für den Einsatz auf Satelliten [2].

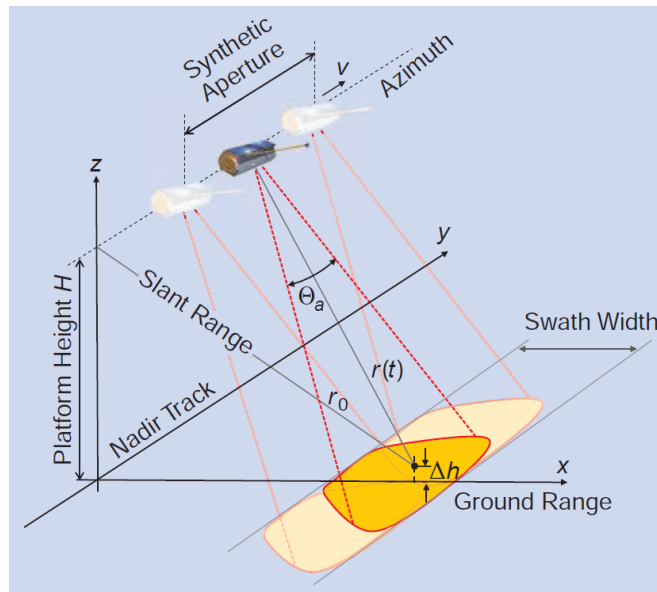


Abbildung 1: Prinzip eines SAR Fernerkundungssystems [1]

Solche Systeme können in unterschiedlichen Aufnahmeverfahren arbeiten. Das einfachste dieser Verfahren ist das Stripmap Verfahren bei dem nur ein Aufnahmestreifen kontinuierlich aufgenommen wird. Breitere Aufnahmestreifen können mit dem ScanSAR Verfahren erzielt werden. Dabei werden unter verschiedenen Depressionswinkeln, in Blickrichtung und zeitversetzt mehrere Subaufnahmestreifen erzeugt. Im Vergleich zum Stripmap Verfahren ist Auflösung jedoch geringer. Wird eine höhere Auflösung benötigt kann das Spotlight Verfahren zum Einsatz kommen, bei dem eine fixe Region über einen längeren Zeitraum hinweg beobachtet wird. Dies führt zu einer sehr langen wirksamen Antenne. Angepasste Verfahren oder Mischformen können je Beobachtungsszenario zum Einsatz kommen [1].

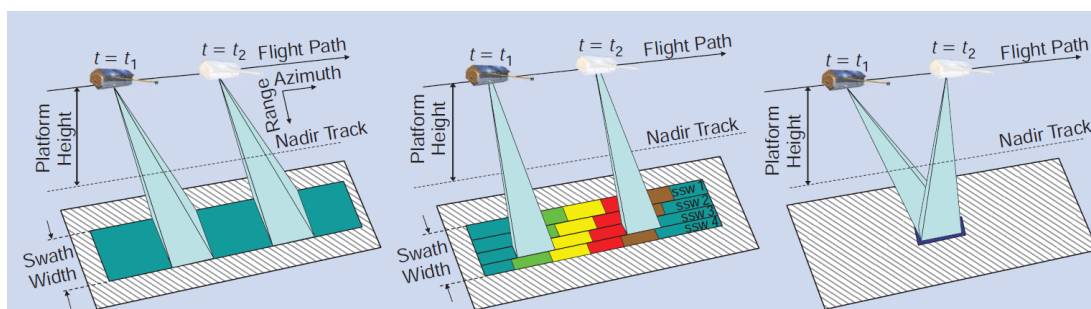


Abbildung 2: Aufnahmeverfahren SAR Systemen [1]

Im Gegensatz zu optischen Aufnahmeverfahren liefern die Rohdaten einer Befliegung mit Radarsensoren noch keine Bilddaten. Um Bilder zu erzeugen, bedarf es zunächst einer komplexen Verarbeitung der aus Amplitude und Phase bestehenden reflektierten Signale. Dabei werden die Daten entlang des Azimuts und der Blickrichtung gefiltert.

In der Regel repräsentieren die Pixelwerte eines aus Radardaten abgeleiteten Bildes die Reflektivität des korrespondierenden Bodenelements. Mittels Geocodierung kann das so entstandene Bild verortet werden. Zusätzlich können diverse Kalibrierungen vorgenommen werden. Dazu gehören Verfahren welche Rauscheffekte minimieren, die geometrischen Eigenschaften verbessern oder die Interpretation der Bilder erleichtern [1].

2.2 Copernicus Programm

2.2.1 Ziele

Das Copernicus-Programm ging aus dem Global Monitoring for Environmental Security Programm (GMES) Programm hervor welches 1998 mit dem Ziel initiiert wurde um Europa zu ermöglichen eine führende Rolle bei der Lösung von weltweiten Problemen im Kontext Umwelt und Klima zu verschaffen. Teil dieser Bestrebungen ist der Aufbau eines leistungsfähigen Programms zur Erdbeobachtung. 2012 wurde das GMES-Programm zum Copernicus-Programm umbenannt [3]. Erklärte Ziele des Copernicus-Programmes ist das Überwachen der Erde um den Schutz der Umwelt sowie Bemühungen von Katastrophen- und Zivilschutzbehörden zu unterstützen. Gleichzeitig soll die Wirtschaft im Bereich Raumfahrt und der damit verbundenen Services unterstützt und Chancen für neue Unternehmungen geschaffen werden [7].

2.2.2 Aufbau

Das Copernicus-Programm besteht aus Weltraum, In-Situ- und Service-Komponente. Zur Weltraum-Komponente gehören die verschiedenen Satellitenmissionen sowie Bodenstationen welche für den Betrieb sowie die Steuerung und Kalibrierung der Satelliten sowie der Verarbeitung und Validierung der Daten verantwortlich sind [7].

Sentinel-1 Satelliten sind mit bildgebenden Radarsystemen ausgerüstet und beobachten wetter- und tageszeitunabhängig Land-, Wasser- und Eismassen, um unter anderem das Krisenmanagement zu unterstützen. Satelliten der Sentinel-2 Mission führen hochauflösende, multispektrale Kameras mit und liefern weltweit optische Fernerkundungsdaten.

Altimetrische und radiometrische Daten von Land- und Wasserflächen werden von der Sentinel-3 Satellitenmission gesammelt während spektrometrische Daten zur Überwachung der Luftqualität von Sentinel-4 und 5 Satelliten erfasst werden. Ozeanografische Daten sollen von den Sentinel-6 Satelliten geliefert [4].

Die In-Situ-Komponente sammelt Daten von See-, luft- und landbasierten Sensoren sowie geografische und geodätische Referenzdaten. Die harmonisierten Daten werden verwendet, um die Daten der Weltraum-Komponente zu verifizieren oder zu korrigie-

ren. Gleichzeitig können räumliche oder thematische Lücken in der Datenabdeckung gefüllt werden [7] [5].

Zur Service-Komponente gehören unterschiedliche Dienste, welche jeweils auf Themengebiet abgestimmt sind und Daten in hoher Qualität bereitstellen. Der Copernicus Atmosphere Monitoring Service (CAMS) soll Informationen zur Luftqualität und der chemischen Zusammensetzung der Atmosphäre liefern. Daten bezüglich des Zustands und der Dynamik der Meere und deren Ökosysteme lassen sich über den Copernicus Marine Environment Monitoring Service (CMEMS) beziehen. Informationen zur Flächennutzung und Bodenbedeckung werden vom Copernicus Land Monitoring Service (CLMS) bereitgestellt. Um eine nachhaltige Klimapolitik planen und umsetzen zu können stellt der Copernicus Climate Change Service (C3S) aktuelle sowie historische Klimadaten bereit. Um den Zivilschutzbehörden schnelle Reaktionen auf Umweltkatastrophen zu ermöglichen, stellt der Emergency Management Service (EMS) entsprechende Fernerkundungsdaten bereit. Ähnliche Daten können von europäischen Zoll- und Grenzschutzbehörden über den Copernicus Security Service bezogen werden [7] [5].

2.2.3 Sentinel 1

Die Sentinel-1 Satellitenmission liefert wetter- und tageszeitunabhängige Radardaten der Erdoberfläche. Die Mission besteht aus zwei Satelliten, Sentinel-1 A und B, sowie einer Bodenkomponente welche für Steuerung und Kalibrierung und Datenverarbeitung verantwortlich ist. Die Satelliten tragen als Hauptinstrument ein bildgebendes Radar mit synthetischer Apertur welches im C-Frequenzband arbeitet. Es stehen zwei Polarisationsmodi, Single (HH, VV) oder Dual (HH+HV, VV+VH), zur Verfügung [9]. Die Erfassung von Daten kann in vier Aufnahmemodi erfolgen welche sich in Auflösung, Streifenbreite und Anwendungsszenario unterscheiden. Der Standardmodus ist der Stripmap Modus (SM) bei dem Aufnahmestreifen mit einer kontinuierlichen Folge von Signalen abgetastet wird [9]. Die Aufnahmemodi Interferometric Wide Swath Mode (IW) und Extra-Wide Swath Mode (EW) arbeiten im TOPSAR Verfahren mit drei beziehungsweise fünf Sub-Aufnahmestreifen um ein größeres Gebiet aber in geringerer Auflösung aufnehmen zu können. TOPSAR ist eine Abwandlung des ScanSAR Verfahrens bei dem die Antenne zusätzlich in Azimut-Richtung vor und zurück bewegt wird, um die radiometrische Qualität der resultierenden Bilder zu verbessern. Wenn der Wave Modus (WV) zu Einsatz kommt werden kleine, Vignetten genannte, Szenen im Stripmap Verfahren aufgenommen. Sie werden in regelmäßigen Abständen und wechselnden Depressionswinkeln aufgenommen [1] [9].

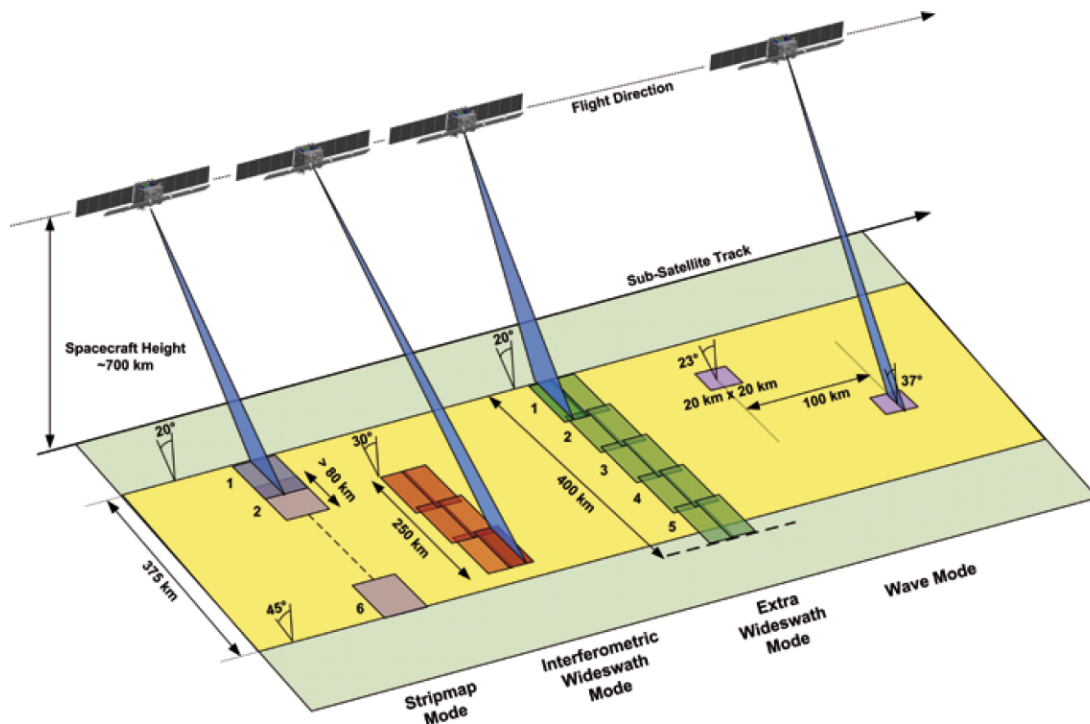


Abbildung 3: Aufnahmemodi der Sentinel-1 Mission [6]

Tabelle 2: Eigenschaften der Aufnahmemodi der Sentinel-1 Mission [6]

Modus	IW	WV	SM	EW
Polarisation	Dual	Single	Dual	Dual
Azimutauflösung (m)	20	5	5	40
Rage-Auflösung (m)	5	5	5	20
Streifenbreite (km)	250	20x20	80	410

Beide Satelliten befinden sich auf einem polnahen, sonnensynchronen Orbit. Ein Zyklus dauert 12 Tage, in denen die Erde 175 umrundet wird. Da es sich um ein Satellitenpaar handelt, welches als Tandem die Erde umrundet, wird ein Punkt alle sechs Tage von einem der Satelliten überflogen. Das System kann eine zuverlässige globale und systematische Abdeckung liefern. Dabei können im IW Modus alle relevanten Land-, Wasser- und Eismassen alle zwölf Tage vollständig von einem Satelliten erfasst werden. In Krisensituationen können nach Bedarf innerhalb von zweieinhalb und fünf Tagen Daten erfasst werden [6].

Nach dem Erfassen der Daten und Übersenden an eine Bodenstation werden diverse Vorverarbeitungsschritte vorgenommen, in die sowohl interne als auch externe Parameter einfließen. Daraus ergeben sich diverse Produkte, welche sich durch Aufnahmemodus (IW, SM, EW und WV), Produkt-Typ sowie durch ihre Auflösung (Full-,

High-, und Medium-Resolution) unterscheiden. Single Look Complex (SLC) Produkte sind im wesentlichen kalibrierte Rohdaten in denen Amplitude und Phase nicht zur Reflektivität kombiniert wurden und die geometrische Auflösung sich in Azimut- und Blickrichtung unterscheidet. Ground Range Detected (GRD) Produkte bilden hingegen die Reflektivität ab und haben eine annähernd quadratische geometrische Auflösung. Die Reflektivität wird in der logarithmischen Maßeinheit Dezibel (dB) angegeben. Die Korrektur der Schrägdistanz in Blickrichtung erfolgt durch Projektion auf einen Ellipsoiden. [9]. Aus den Level-1 Produkten, SLC und GRD, können die Level-2 Produkte OSW, OWI und RVL abgeleitet werden.

2.2.4 Datenzugang

2.3 Überschwemmungsmonitoring

Um Wasserflächen und damit auch überflutete Areale auf Radarbildern zu erkennen können die Reflektionseigenschaften von Wasserflächen genutzt werden. Das Wasser eine sehr niedrige Rauigkeit besitzt kommt beim Aufprall eines Radarsignals zu einer spiegelnden Reflektion und nur ein sehr geringer Teil des Signals wird zum Empfänger zurückgeworfen. In den resultierenden Bildern äußert sich dieser Umstand in niedrigen Reflektivitätswerten. Um die Areale mit niedrigen Reflektionswerten zu detektieren können Verfahren genutzt werden, welche aus den Histogrammen der Bilder einen Schwellwert ermitteln. Um die Ergebnisse einer solchen Schwellwertbestimmung zu verbessern, sollten die Radardaten, zum Beispiel Sentinel-1 IW GRD, zusätzlich kalibriert werden. So können die genauen Kenntnisse über die tatsächliche Flugbahn des Satelliten dazu beitragen die geografische Genauigkeit zu verbessern. Diese kann zusätzlich durch Verfahren wie die Differentialentzerrung gesteigert werden die durch das Relief entstandenen Lagefehler ausgeglichen [2]. Radiometrische Genauigkeit gesteigert werden indem zum Beispiel thermisches Rauschen aus den Daten entfernt wird und die Reflektivitätswerte zum sogenannten σ_0 -Wert umgerechnet werden. Dieser repräsentiert den Querschnitt der Reflektivität für eine normierte Fläche am Boden [11]. Dieses Maß erlaubt zudem das Vergleichen unterschiedlicher Radaraufnahmen. Auch sollte ein Speckle-Filter zum Einsatz kommen um diese reduzieren körnige Bildstrukturen auf homogenen Flächen in Radarbildern auftreten und die rechnerische Bildauswertung erschweren können. [2] [10]. Auf Basis des Schwellwertes kann eine Binärisierung des Bilder durchgeführt werden. Die beiden Werte repräsentieren dann überflutete beziehungsweise trocken liegende Flächen [10].

2.4 Schnittstellen

2.5 OGC und OGC Standards

2.6 OGC API - Processes - Part 1: Core

2.6.1 Ziele

2.6.2 Aufbau

2.7 Evaluationskriterien

3 Implementierung

3.1 Requirements Class Core

3.2 Requirements Class OGC Process Description

3.3 Requirements Class JSON

3.4 Requirements Class HTML

3.5 Requirements Class OpenAPI 3.0

3.6 Requirements Class Job List

3.7 Requirements Class Dismiss

3.8 Zusätzliche Funktionalitäten

3.9 Überschwemmungsmonitoring

Eines dieses Schwellwertverfahren wurde von Nobuyuki Otsu entwickelt und ist nach ihm benannt. Bei diesem Verfahren werden alle Werte eines Histogramms durchlaufen. Jeder dieser Werte teilt das Histogramm in zwei Gruppen und bildet so einen Schwellwert. Jener Wert welcher die gewichtete Varianz innerhalb der Klassen minimiert. Gegeben sei ein Bild C mit N Pixeln und L Grauwertstufen. Die Anzahl der Pixel einer Grauwertstufe i sein dann gegeben durch n_i mit:

$$N = \sum_{i=1}^L n_i \quad (1)$$

Der momentan betrachtete Grenzwert t teilt das Bild in die Gruppen C_0 und C_1 wobei C_0 alle Pixel der Graustufen 1 bis t und C_1 alle Pixel der Graustufen $t + 1$ bis L enthält. Die Gewichte für die Gruppen C_0 und C_1 sind nun gegeben durch:

$$w_0(t) = w(t) = \sum_{i=1}^t p_i \text{ und } w_1(t) = \sum_{i=t+1}^L p_i \quad (2)$$

Mit p_i :

$$p_i = \frac{n_i}{N} \quad (3)$$

und:

$$\mu_0(t) = \sum_{i=1}^t ip_i/w_0 \text{ und } \mu_1(t) = \sum_{i=t+1}^L ip_i/w_1 \text{ und } \mu_T = \sum_{i=1}^L ip_i \quad (4)$$

Die Klassenvarianzen sind gegeben durch:

$$\sigma_0^2(t) = \sum_{i=1}^t (i - \mu_0)^2 p_i / w_0 \text{ und } \sigma_1^2(t) = \sum_{i=t+1}^L (i - \mu_1)^2 p_i / w_1 \quad (5)$$

Zu Maximieren ist nun die Inter-Klassenvarianz was equivalent zur Minimierung der Intra-Klassenvarianz ist:

$$K = \frac{\sigma_t^2}{\sigma_W^2} \quad (6)$$

wobei:

$$\sigma_W^2 = w_0 \sigma_0^2 + w_1 \sigma_1^2 \text{ und } \sigma_T^2 = \sum_{i=1}^L (i - \mu_T)^2 p_i \quad (7)$$

4 Evaluation

5 Ausblick

Literatur

- [1] A. Moreira, M. Younis, P. Prats-Iraola, G. Krieger, I. Hajnsek und K. P. Papathanassiou (2013, April 17). A Tutorial on Synthetic Aperture Radar [Online]. Verfügbar unter: https://www.researchgate.net/publication/257008464_A_Tutorial_on_Synthetic_Aperture_Radar (Zugriff am: 6. Juni 2022).
- [2] J. Albertz, Einführung in die Fernerkundung, 4. Auflage Darmstadt: Wissenschaftliche Buchgesellschaft, 2009
- [3] Europäische Kommission (2018, Oktober 06). Copernicus: 20 years of History [Online]. Verfügbar unter: <https://www.copernicus.eu/en/documentation/information-material/signature-esafrance-collaborative-ground-segment> (Zugriff am: 13. Juni 2022).
- [4] European Space Agency (2018). Sentinels - Space for Copernicus [Online]. Verfügbar unter: <https://www.d-copernicus.de/daten/satelliten/daten-sentinels/> (Zugriff am: 13. Juni 2022).
- [5] Europäische Kommission (2019). What is Copernicus [Online]. Verfügbar unter: <https://www.copernicus.eu/en/documentation/information-material/brochuresbrochures> (Zugriff am: 13. Juni 2022).
- [6] ESA Communications (2012, März). Sentinel-1 ESA's Radar Observatory Mission for GMES Operational Services [Online]. Verfügbar unter: <https://sentinel.esa.int/web/sentinel/missions/sentinel-1/overview> (Zugriff am: 13. Juni 2022).
- [7] Europäisches Parlament und Rat der Europäischen Union (2014, April 24). Establishing the Copernicus Programme and repealing Regulation (EU) No 911/2010 [Online]. Verfügbar unter: <https://www.kowi.de/Portaldata/2/Resources/horizon2020/coop/Copernicus-regulation.pdf> (Zugriff am: 13. Juni 2022).
- [8] M. Bourbigot, H. Johnson, R. Piantanida (2016, März 03). Sentinel-1 Product Definition [Online]. Verfügbar unter: https://sentinel.esa.int/web/sentinel/user-guides/sentinel-1-sar/document-library/-/asset_publisher/1dO7RF5fJMbd/content/sentinel-1-product-definition (Zugriff am: 13. Juni 2022).
- [9] N. Otsu (1976, Januar). A Threshold Selection Method from Gray-Level Histograms [Online]. Verfügbar unter: <http://www.scribd.com/doc/153919/otsu> (Zugriff am: 13. Juni 2022).

ps://ieeexplore.ieee.org/document/4310076/citations#citations (Zugriff am: 14. Juni 2022).

[10] A. McVittie (2019, Februar). Sentinel-1 Flood mapping tutorial [Online]. Verfügbar unter: <https://step.esa.int/main/doc/tutorials/> (Zugriff am: 15. Juni 2022).

[11] N. Miranda und P.J. Meadows (2015, Mai 21). Radiometric Calibration of S-1 Level-1 Products Generated by the S-1 IPF [Online]. Verfügbar unter: https://sentinel.esa.int/web/sentinel/user-guides/document-library/-/asset_publisher/xlslt4309D5h/content/sentinel-1-radiometric-calibration-of-products-generated-by-the-s1-ipf (Zugriff am: 15. Juni 2022).

Eidesstattliche Erklärung

Hiermit versichere ich, dass ich die Bachelorarbeit zum Thema Rich Data Interfaces for Copernicus Data selbstständig verfasst und keine anderen als die angegebenen Quellen und Hilfsmittel benutzt habe, alle Ausführungen, die anderen Schriften wörtlich oder sinngemäß entnommen wurden, kenntlich gemacht sind und die Arbeit in gleicher oder ähnlicher Fassung noch nicht Bestandteil einer Studien- oder Prüfungsleistung war.

Münster, den 15. Juni 2022